

استفاده از فیلم‌های نازک نانوذرات ZnS حاوی مس جهت تخریب رنگدانه‌های سمی متیلن بلو

مسعود مهرابیان

دانشکده علوم پایه، دانشگاه مراغه، مراغه، ایران

سعید بیگزاده

گروه اپتیک و لیزر، دانشکده فنی و مهندسی، دانشگاه بناب، ایران

(دریافت مقاله: ۹۶/۰۹/۲۵ - پذیرش مقاله: ۹۷/۰۵/۱۵)

چکیده

فیلم‌های نازک نانوذرات ZnS خالص و ZnS آلائید به Cu (ZnS:Cu) با استفاده از روش جذب و واکنش متواالی لایه‌ی یونی (SILAR) تهیه شد. فیلم‌های نازک به دست آمده با استفاده از پراش سنج اشعه ایکس (XRD)، میکروسکوپ الکترونی روبیشی (SEM) و طیف جذبی مورد بررسی قرار گرفتند. تخریب فتوکاتالیستی مولکول‌های رنگی متیلن بلو (MB) با کترول میزان غلظت محلول MB با استفاده از اسپکتروفتومتر جذب UV-vis ارزیابی شد. تغییرات غلظت Cu در فیلم‌های نازک نانوذرات ZnS نشان داد که نمونه حاوی ۲ درصد وزنی Cu برای تخریب مولکول‌های رنگی بسیار موثرتر می‌باشد. نتایج تجربی نشان دادند که بازده تخریب فیلم‌های نازک فتوکاتالیست پس از ۳۰ دقیقه زمان تابش UV حدود ۳۶٪ بود و بیشترین بازده تخریب (۵۶٪) با افزایش زمان قرار گرفتن در معرض تابش به مدت ۳۶۰ دقیقه حاصل شد. واژه‌های کلیدی: سولفید روی، سولفید روی حاوی ناخالصی Cu^{+} , جانب UV-Vis, فتوکاتالیست، تخریب، متیلن بلو.

The Use of Thin Films of Zns Nanoparticles Containing Copper to Destroy Toxic Methylene Blue Pigments

Masood Mehrabian

Department of Basic Science, University of Maragheh, P.O. Box 55136-553, Maragheh, Iran

Saeid Beygzadeh

Department of optics and laser, Faculty of Engineering, University of Bonab, Iran

(Received 16 December 2017, accepted 16 August 2018)

Abstract

Pure and Cu doped ZnS (ZnS:Cu) nanoparticle thin films were synthesized by Successive Ion Layer Absorption and Reaction (SILAR) method. The obtained thin films were characterized by X-ray diffractometer (XRD), scanning electron microscopy (SEM), FESEM and absorption spectra. The photocatalytic degradation of methylene blue (MB) dye molecules was evaluated by controlling the concentration of MB solution using a UV-vis absorption spectrophotometer. Changes in Cu concentration in thin films of ZnS nanoparticles showed that a sample containing 2 wt% Cu is much more effective in degradation dye molecules. Experimental results showed that the degradation efficiency of photocatalytic thin films was 36% after 30 minutes of UV radiation and the highest degradation efficiency (56%) was obtained by increasing exposure time for 360 minutes.

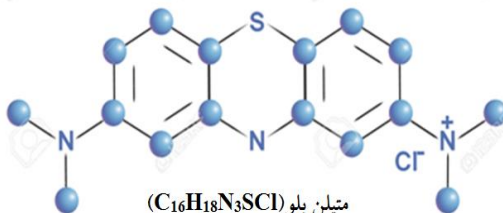
Keywords: ZnS, Cu^{2+} doped ZnS, UV-vis absorption, Photo-catalyst, Degradation, Methylene blue.

E-mail of Corresponding author: sbeygzadeh91@gmail.com.

مقدمه

سولفید روی یک ساختار شش ضلعی دارد و نانومیله یا نانوصفحه با سطح ویژه بالا تشکیل می‌دهد [۱۰-۷]. با این حال، ZnS به طور وسیعی در زمینه حذف آلاینده‌های زیست‌محیطی به کار نرفته است، زیرا ZnS نوعی از مواد نیمه‌هادی ترکیب شده II-VI با شکاف باند مستقیم و بزرگ 3.66 eV است [۱۱] که فقط می‌تواند نور با طول موج‌های زیر $380\text{ }{\text{nm}}$ را جذب کند.

فعال‌سازی فوتوكاتالیستی فرآیندی است که از طریق آن یک ماده نیمه‌هادی نور با انرژی بیشتر از (یا برابر) شکاف باند خود را جذب می‌کند. اکسیتون‌ها (جفت‌های الکترون-حفره) بوسیله تحریک الکترونها از باند ظرفیت به باند هدایت ایجاد می‌شوند. این شکل‌گیری اکسیتون‌ها رادیکال‌های آزادی مانند گروه‌های هیدروکسیل (OH^*) را در سیستم تولید می‌کند که اکسیدکننده‌های بسیار مؤثر و فعال و با قدرت اکسیداسیون بالا بوده و می‌توانند آلاینده‌ها را تخریب کنند و بیشترین کارایی را در اکسیداسیون ترکیبات آلی مقاوم دارند [۱۲].



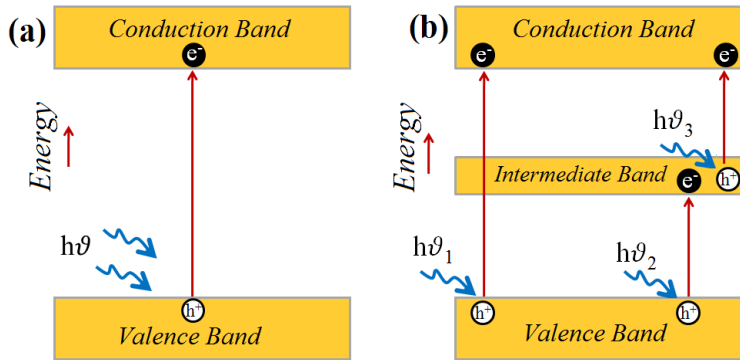
شکل ۱. ساختار متیلن بلو.

برای افزایش بازده تخریب مولکول‌های رنگی، یک ماده فوتوكاتالیست که در ناحیه مرئی جذب خوبی دارد، مورد نیاز است. از این بابت، ZnS با گاف باند پهن (~ 3.66 eV) ماده نویدبخشی است که فعالیت‌های فوتوكاتالیتیکی آن می‌تواند با ایجاد یک تراز پذیرنده در داخل باند منوعه (گاف باند) برای گیراندن حفره‌ها بهبود یابد. در شکل ۲ شماتیک نمایشی از یک ساختار نیمه‌هادی با باند معمولی (a) و ساختار نیمه‌هادی دارای تراز لایه میانی (b) رسم شده است. مطابق شکل ۲(b) مشاهده می‌شود که علاوه بر جذب متداول حامل‌های نوری تولید شده در طول شکاف باند نیمه‌هادی ($h\nu_1$)،

متیلن بلو (Methylene blue) با فرمول شیمیایی $\text{C}_{16}\text{H}_{18}\text{N}_3\text{SCl}$ یک ترکیب آروماتیک چندحلقه‌ای (شکل ۱) با وزن مولکولی $319/85$ گرم بر مول است. این ماده یک رنگ کاتیونی محلول در آب بوده و بعد از حل شدن در آب به رنگ آبی در می‌آید [۱] و با علامت اختصاری MB مشخص می‌گردد و به طور گسترده در صنایع مورد استفاده قرار می‌گیرد. تماس با متیلن بلو سبب سوزش چشم می‌گردد که باعث ایجاد آسیب جبران‌ناپذیر و دائمی در چشم انسان‌ها و حیوانات در تماس طولانی مدت می‌شود. ایجاد تهوع، استفراغ، تعريق شدید، دردهای عضلانی و... از علائم مسمومیت با این رنگ است [۲-۳]. متیلن بلو در فاضلابهای رنگی صنایع نساجی نیز یکی از منابع مهم آلودگی می‌باشد [۴]، از این‌رو حذف متیلن بلو از پساب‌های صنایع و فاضلاب‌های رنگی امری ضروری و اجتناب‌ناپذیر است.

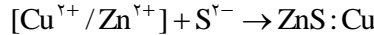
UV فرآیندهای اکسیداسیون فوتوكاتالیتیکی توسط اشعه UV در حضور کاتالیزورهایی مانند ZnO , ZrO_2 , TiO_2 و ... در حذف آلاینده‌های آلی، نوعی از فرآیندهای اکسیداسیون پیشرفت‌های می‌باشند که بر پایه تولید اجزای بسیار فعال و واکنش‌پذیر مانند رادیکال هیدروکسیل عمل می‌کنند و به دلیل بالا بودن کارایی نسبت به سایر فرآیندها، مورد توجه خاصی قرار گرفته‌اند [۵]. کاتالیزور در فرآیند فوتوكاتالیستی ممکن است به شکل تثیت شده یا سوسپانسیونی به کار رود که استفاده از کاتالیست‌های تثیت شده در فرآیند فوتوكاتالیستی به علت عدم نیاز به جداسازی کاتالیست بعد از انجام فرآیند، در مقیاس وسیع، اقتصادی و کاربردی‌تر است [۶]. سولفید روی (ZnS) ماده‌ای غیررسمی است که به عنوان فوتوكاتالیست، برای حذف آلاینده‌های زیست محیطی به‌ویژه برای تخریب آلاینده‌های آلی از آب قابل استفاده است، زیرا تحت تحریک نوری سریعاً «الکترون-حفره» تولید کرده و پایداری فیزیکی بالایی تحت نور UV نشان می‌دهد.

بر فیلم‌های نازک ZnS آلاییده به Cu برای تخریب متین بلو بررسی شده است.



شکل ۲. گذارهای محتمل در (الف) ساختارهای نیمرسانای معمولی، (ب) ساختارهای نیمرسانای دارای باند میانی.

در صدھای وزنی 10% و 5% ($Cu = 0.5\%, 1\%, 2\%, 5\%$) به محلول کاتیونی پیش‌ساخته اضافه شد و محلول آنیونی همان‌طور که در پاراگراف بالا ذکر شد، مورد استفاده قرار گرفت. ساخت ZnS آلاییده به Cu طبق واکنش زیر انجام می‌گیرد:



برای اندازه‌گیری فعالیت فتوکاتالیستی، یک لامپ UV ۱۲ وات ساخت شرکت فیلیپس، (دستی-فلزی، UV-A) که در بالای نمونه‌ها قرار می‌گیرد، به عنوان منبع نور برای شروع واکنش فتوکاتالیستی مورد استفاده قرار گرفت (شکل ۳).



شکل ۳. دستگاه راکتور نوری.

نتایج و بحث

مورفولوژی سطحی و الگوهای پراش اشعه X فیلم‌های نازک ZnS حاوی غلظت‌های مختلف نانوذرات مس به ترتیب با استفاده از روش‌های FESEM و XRD

امکان جذب اضافی از طریق گذار بین باند ظرفیت و تراز میانی ($h\nu_2$) و از تراز میانی به باند رسانش ($h\nu_3$) نیز امکان‌پذیر است [۱۲]. در این مطالعه، تاثیر تغییر غلظت

مواد و روش‌ها

فیلم‌های نازک نانوذرات ZnS خالص و آلاییده با Cu توسط تکنیک جذب سطحی و واکنش متوالی لایه‌های یونی (SILAR) به کمک چرخش ساخته می‌شوند. برای این منظور، یک محلول 1M دی‌هیدرات استات روی $[Zn(CH_3COO)_2 \cdot 2H_2O]$ در اتانول و یک محلول 0.1M سولفید سدیم $Na_2S \cdot 9H_2O$ در آب دی‌یونیزه متابولول (با نسبت حجمی ۵:۹۵) به ترتیب به عنوان منبع یونهای Zn^{2+} (محلول کاتیونی) و منبع S^{2-} (محلول آنیونی) به کار می‌رود.

برای پوشش دهی زیرلایه‌های شیشه با نقاط کوانتومی ZnS مقادیر مناسبی از محلول‌های کاتیونی و آنیونی برروی زیرلایه شیشه ریخته شده و لایه‌نشانی چرخشی در 3500 rpm به مدت 30 s انجام گرفت. برای حذف پسماندهای آلی، فیلم‌ها به مدت 10 دقیقه در دمای 150°C درجه سانتی‌گراد پیش‌گرم شده و سپس در دمای 450°C درجه سانتی‌گراد به مدت 2 ساعت در محیط هوا به جهت تبلور ساختارها و تبخیر بقایای مواد آلی حرارت دهی (آنیلینگ) صورت گرفت.

برای تهیه فیلم‌های نازک ZnS آلاییده با Cu، استات مس $[Cu(CH_3COO)_2 \cdot 2H_2O]$ با غلظت‌های مختلف (در

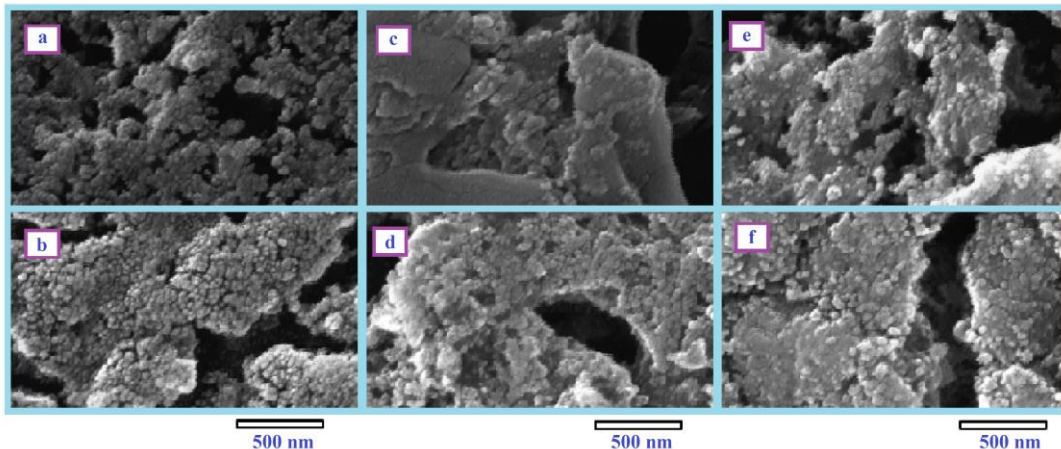
قله‌ها به علت فشار بالای غلظت یون‌های مس به سمت زوایای پراش (2θ) بزرگتری جابجا می‌شوند.

برای آزمایش‌های تخریب، در ابتدا ۵ ppm محلول رنگی با حل کردن ۵ میلی‌گرم متیلن بلو در ۱۰۰ میلی‌لیتر آب مقطر تهیه شد. سپس، ۱۰ میلی‌لیتر از محلول آماده شده در راکتور نوری قرار گرفت و فیلم‌های نازک (فوتوكاتالیستها) با مساحت فعال 1.5×1.5 سانتی‌متر مربع در این محل قرار گرفتند. در نهایت، این محلول‌ها تحت تابش اشعه UV لامپ ۸ وات مورد آزمایش قرار گرفتند.

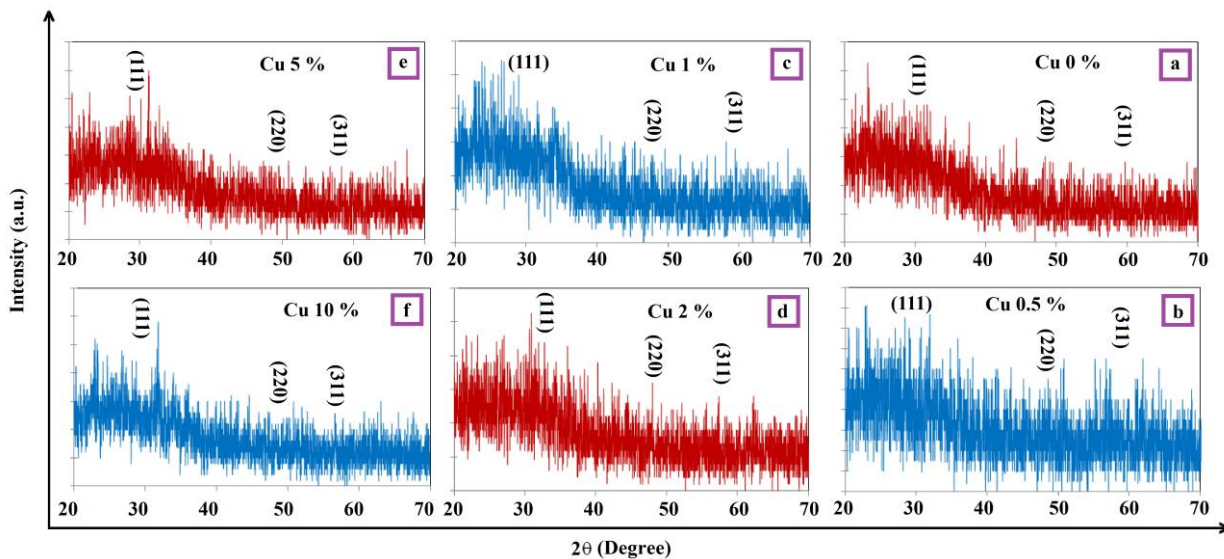
مجموعه آزمایشی در شکل ۳ ارائه شده است. این روش رنگزدایی محلول، برای اندازه‌گیری طیف‌ها مورد استفاده قرار گرفت. طیف جذب برای بدست آوردن حداقل شدت جذب در $\lambda = 665 \text{ nm}$ ثبت شد. تخریب نوری متیلن بلو بر حسب طیف جذبی به صورت تابعی از زمان تابش برای مقایسه تجزیه و تحلیل شد. شکل ۶ طیف جذبی UV-vis محلول‌های متیلن بلو پس از تخریب نوری با نور UV را نشان می‌دهد.

مورد بررسی قرار گرفتند. نتایج در شکل‌های ۴ و ۵ نشان داده شده است.

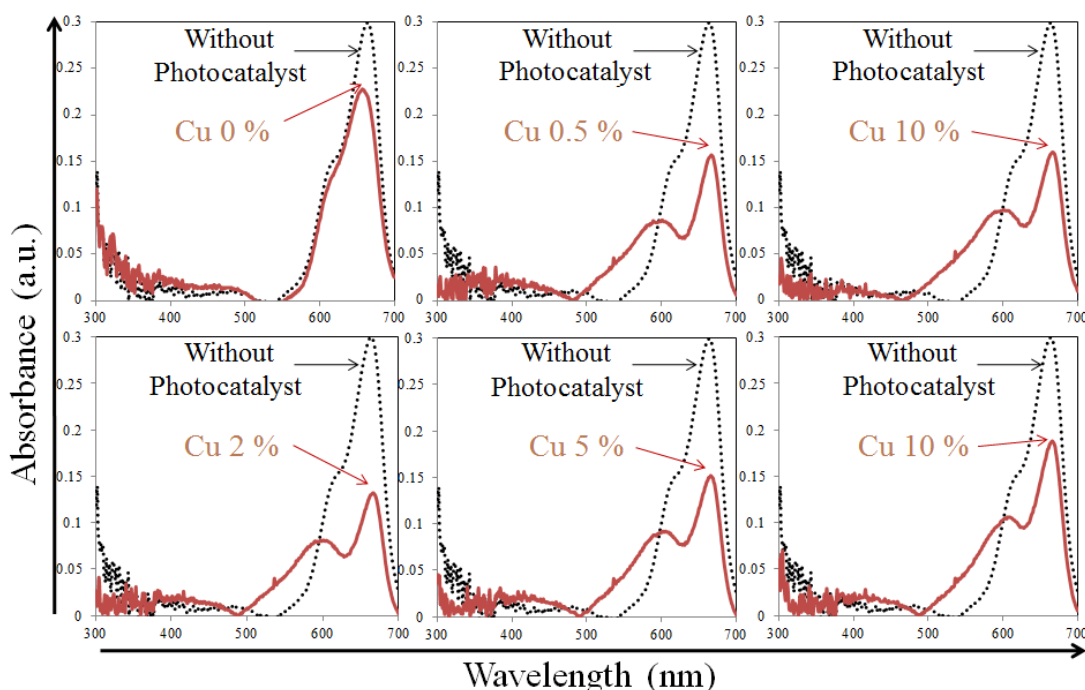
به‌وضوح دیده می‌شود که فیلم ZnS یکنواخت و منتشر از ساختار لانه زنبوری یکنواخت است. در حالی که فیلم‌های نازک مخلوط با مس شدیداً متراکم شده و مورفلوژی فشرده را تشکیل می‌دهند. متوسط اندازه ذرات فیلم‌های نازک نشان می‌دهد که در اثر ترکیب شدن اتم‌های Cu²⁺، تغییر چشمگیری در اندازه نانوذرات ایجاد نشده است. الگوهای XRD نشان می‌دهد که سه پیک پراکندگی اصلی (۱۱۱)، (۲۲۰) و (۳۱۱)، (۲۲۰)، (۲۸.۶°)، (۴۸.۵°) و (۵۶.۸°) ظاهر شده است که تطابق بسیار خوبی با ساختار بلوری مکعبی ZnS دارد (JCPDS ۰۵-۰۵۶۶، $a = 0.5406 \text{ nm}$). با افزایش غلظت ناخالصی (Cu²⁺) از صفر تا ۵ درصد، هیچ پیک پراشی (از ناخالصی‌های Cu) دیده نمی‌شود. این نشان می‌دهد که یونهای Cu²⁺ به صورت یکنواخت در شبکه ZnS پراکنده شده‌اند. اما در (۰.۱۰٪) همه



شکل ۴. تصاویر FESEM (a) ZnS بدون آلایش مس، (b) ZnS با ۰.۵٪ ناخالصی مس، (c) ZnS با ۱٪ ناخالصی مس، (d) ZnS با ۲٪ ناخالصی مس، (e) ZnS با ۵٪ ناخالصی مس، (f) ZnS با ۰.۱۰٪ ناخالصی مس.

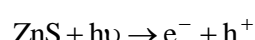


شکل ۵. الگوهای XRD (a) ZnS بدون آلایش مس، (b) ZnS با ۰.۵٪ ناخالصی مس، (c) ZnS با ۱٪ ناخالصی مس، (d) ZnS با ۲٪ ناخالصی مس، (e) ZnS با ۵٪ ناخالصی مس، (f) ZnS با ۱۰٪ ناخالصی مس.



شکل ۶. مقایسه تخریب MB توسط فوتوكاتالیست‌های ZnS حاوی غلظت‌های مختلفی از Cu.

فرآیند تخریب نوری می‌تواند به صورت زیر توصیف کترون-حرفره) می‌شود که به ترتیب عامل‌های اکساینده و کاهنده قوی‌تری هستند:



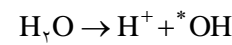
شود: در حضور اکسیژن (O_2)، فیلم‌های نازک نانوذرات ZnS تحت تاثیر تابش تخریب می‌شوند. فعال‌سازی ZnS توسط نور فرودی ($h\nu$) باعث تولید اکسیتیون‌ها (جفت‌های

می‌توان مشاهده کرد که کارایی تخریب MB با افزایش غلظت Cu، افزایش می‌یابد و در ۲ درصد وزنی Cu به یک مقدار بیشینه می‌رسد. این مقدار بهینه‌ی Cu در شبکه ZnS در ۲ درصد وزنی به دست آمد.

ممکن است نتیجه‌گیری شود که در سطح پایین آلایش Cu اکسیتون‌های نوری تولید شده به خوبی از هم جدا می‌شوند و در نتیجه موجب افزایش کارایی کاتالیست می‌شوند. به هر حال با افزایش بیشتر غلظت Cu (۵ درصد وزنی)، مرزدانه‌ها تمایل به اشاع شدن داشته و در نتیجه این اتم‌های ناخالصی، تشکیل نواقصی مانند اتم‌های درون شبکه‌ای را می‌دهند. در این حالت، غلظت Cu بیشتر از ۲ درصد وزنی است که منجر به پراکندگی ناخالصی یونیزه شده از پذیرنده‌های جایگزیده شده و نیز به پراکندگی از اتم‌های درون شبکه‌ای منجر خواهد شد، در نتیجه غلظت حامل‌ها کاهش می‌یابد [۱۵].

تغییر درصد تخریب MB بر حسب زمان تابش برای غلظت‌های مختلفی از Cu در شکل ۹ نشان داده شده است که با جدول (۱) و شکل ۸ همخوانی دارد. نتایج این تحقیق مکمل سایر تحقیقات مشابه بوده (البته با درصد تخریب نسبتاً کمتر) [۱۱] و ضرورت این کار، حذف فوتوكاتالیستی متیلن بلو با استفاده از پرتو UVA تحت تابش‌های مختلف است. تغییر در راندمان تخریب با تغییر رنگ محلول MB پس از زمان واکنش ۳۶۰ دقیقه با تغییر غلظت Cu، همانطور که در شکل ۱۰ نشان داده شده، دیده شد. کاهش کارایی تخریب MB در غلظت‌های بالاتر Cu می‌تواند؛ به صورت زیر شرح داده شود. افزایش غلظت مس (از ۲ تا ۱۰ درصد) منجر به کاهش شفافیت فیلم‌های نازک می‌شود. اگرچه امکان تأثیر عوامل مختلفی بر شفافیت فیلم‌های نازک وجود دارد، اما عامل اصلی مراکز پراکندگی سطحی ایجاد شده از سازوکار پخش Cu در شبکه ZnS است. که تأثیر شفافیت فیلم‌های نازک را دارد.

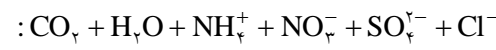
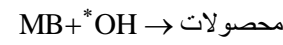
اکسیداسیون آبِ جذب شده روی سطح فیلم Cu : ZnS منجر به تولید رادیکال هیدروکسیل بر اساس واکنش زیر می‌شود:



سپس واکنش‌های اکسایش و کاهش به صورت زیر اتفاق می‌افتد:



در نهایت، در تخریب ترکیب آلی (MB) :



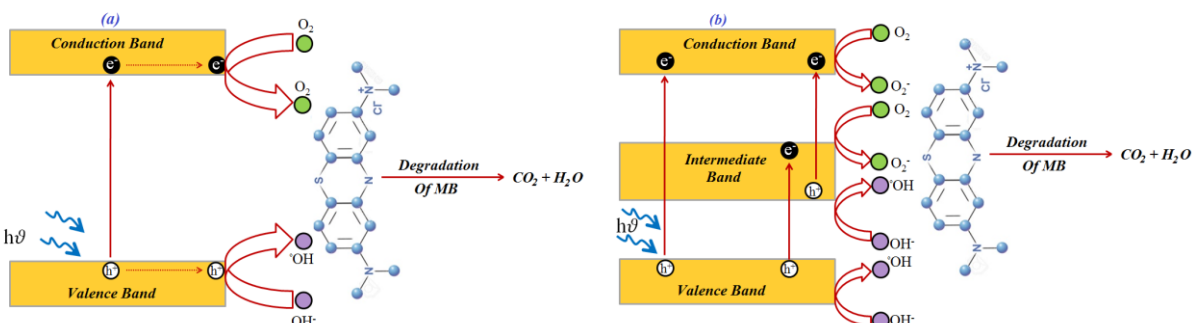
فرایند تخریب به صورت شماتیک در شکل ۷ نشان داده شده است.

کارایی تخریب نوری MB از معادله زیر محاسبه شد:

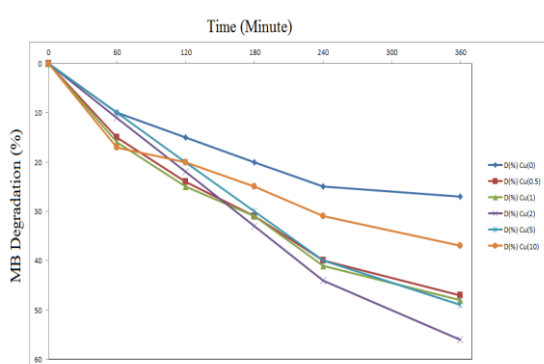
$$D = \frac{A_0 - A_t}{A_0} \times 100\%$$

که D درصد تخریب، A₀ جذب اولیه MB و A_t جذب محلول پس از تابش (برای مدت t دقیقه) می‌باشد. اندازه‌گیری‌ها برای سه زمان (۳۰، ۱۲۰ و ۳۶۰ دقیقه) برای هر فوتوكاتالیست تکرار و نتایج مقایسه شد. همانطور که در شکل ۸ نشان داده شده است. این شکل به وضوح نشان می‌دهد که ZnS:Cu فوتوكاتالیست بهتری از ZnS خالص است. بنابراین؛ ZnS خالص به عنوان یک فوتوكاتالیست برای زمان واکنش کمتر از ۳۶۰ دقیقه عمل نمی‌کند (جدول ۱).

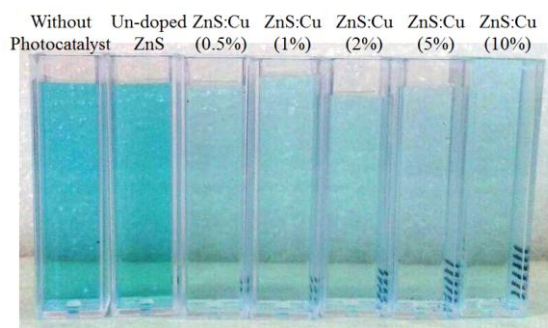
مقایسه فعالیت فوتوكاتالیستی ZnS خالص و Cu نشان می‌دهد که لایه‌های نازک ZnS با ناخالصی ZnS فعالیت کاتالیزوری بهتری نسبت به فیلم‌های ZnS خالص دارند. در حالات آلتیده شده، اتم‌های Cu به عنوان پذیرنده در شبکه ZnS عمل می‌کنند. در نتیجه، اکثر حفره‌های آزاد ایجاد شده می‌توانند در فرایند تخریب MB شرکت کنند.



شکل ۷. نمایش شماتیکی تخریب MB در (الف) ZnS: Cu خالص، (ب) ZnS: Cu با باند میانی.



شکل ۹. تغییر درصد تخریب MB بر حسب زمان تابش برای غلظت- Cu های مختلف.



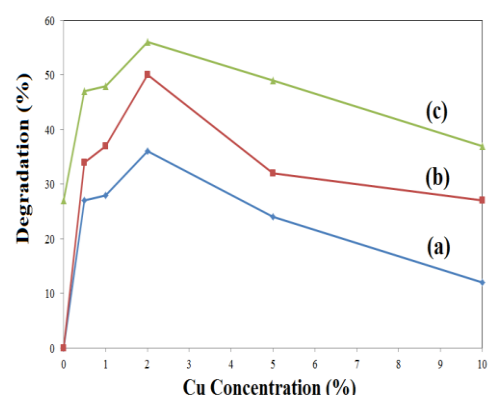
شکل ۱۰. تغییر رنگ محلول MB با تغییر غلظت Cu.

نتیجه‌گیری

در این مطالعه، روش ساده‌ای برای سنتز فیلم‌های نازک فتوکاتالیستی کارآمد، یعنی ZnS خالص و ZnS آلاییده به Cu، با استفاده از تکنیک SILAR مورد استفاده قرار گرفت. تخریب فتوکاتالیستی متیلن بلو (MB) با استفاده از فیلم‌های نازک نانوذرات ZnS خالص و آلاییده به Cu در درصدهای وزنی متفاوتی از Cu تحت تابش اشعه UV انجام شد.

جدول ۱. کارایی فتوکاتالیستی فیلم‌های نازک ZnS با غلظت‌های مختلف Cu برابر با زمان واکنش

غلظت مس (%)	کارایی تخریب (%)	کارایی تخریب (%) زمان واکنش ۳۰ دقیقه =	کارایی تخریب (%) زمان واکنش ۱۲۰ دقیقه =
۰	۰	۰	۲۷
۰.۵	۲۷	۳۴	۴۷
۱	۲۸	۳۷	۴۸
۲	۳۶	۵۰	۵۶
۵	۲۴	۳۲	۴۹
۱۰	۱۲	۲۷	۳۷



شکل ۸. تخریب MB با فیلم‌های نازک ZnS حاوی غلظت‌های مختلف Cu برای زمان‌های واکنش مختلف، (الف) ۳۰ دقیقه، (ب) ۱۲۰ دقیقه، (ج) ۳۶۰ دقیقه.

8. J. Zhang, J. Yu, Y. Zhang, Q. Li, J.R. Gong, *Visible light photocatalytic H₂-production activity of CuS/ZnS porous nanosheets based on photoinduced interfacial charge transfer*, Nano Lett. 11 (2011) 4774–4779.
9. X. Chen, H. Xu, N. Xu, F. Zhao, W. Lin, G. Lin, Y. Fu, Z. Huang, H. Wang, M. Wu, *Kinetically controlled synthesis of wurtzite ZnS nanorods through mild thermolysis of a covalent organic-inorganic network*, Inorg. Chem. 42 (2003) 3100–3106.
10. Y. Wang, J. Zhang, Y. Yang, F. Huang, J. Zheng, D. Chen, F. Yan, Z. Lin, C. Wang, *NaOH concentration effect on the oriented attachment growth kinetics of ZnS*, J. Phys. Chem. B 111 (2007) 5290–5294.
11. S. Harish, J. Archana, M. Navaneethan, S. Ponnusamy, Ajay Singh, Vinay Gupta, D. K. Aswal,d H. Ikeda and Y. Hayakawa, *Synergetic effect of CuS@ZnS nanostructures on photocatalytic degradation of organic pollutant under visible light irradiation*, The Royal Society of Chemistry, 7 (2017) 34366–34375.
12. H.R. Pouretedal, A. Norozi, M.H. Keshavarz, A. Semnani, *Nanoparticles of zinc sulfide doped with manganese, nickel and copper as nanophotocatalyst in the degradation of organic dyes*, J. Hazard. Mater. 162 (2009) 674–681.
13. P. Periyat, E. Declan, M. Cormack, S.J. Hinder, S.C. Pillai, *One-pot synthesis of anionic (Nitrogen) and cationic (Sulfur) Co-doped high temperature stable visible light active anatase photocatalysts*, J. Phys. Chem. C 113 (2009) 3246–3253.
14. R.K. Srivastava, N. Pandey, S.K. Mishra, *Effect of Cu concentration on the photoconductivity properties of ZnS nanoparticles synthesized by co-precipitation method*, Mater. Sci. Semicond. Process. 16 (2013) 1659–1664.
15. M. Mehrabian, S. Aslyousefzadeh, *Synthesis and evaluation of Al:ZnO nanoparticles as electron transporter layer in hybrid solar cells*, adv, Sci. Eng. Med. 7 (2015) 195–199.

مشخص شد که ZnS:Cu فوتوکاتالیست بهتری از ZnS خالص است. سه زمان واکنش (۳۰، ۲۰ و ۳۶۰ دقیقه) مورد آزمایش قرار گرفتند. نتایج نشان داد که فعالیت فوتوکاتالیستی فیلم‌های نازک برای تمام زمانهای واکنش بستگی به درصد وزنی Cu در شبکه ZnS دارد. بالاترین بازده تخریب نوری که ۵۶٪ بود برای ZnS:Cu با ۲ درصد وزنی Cu پس از ۳۶۰ دقیقه تابش بدست آمد. نتایج تجربی نشان داد که افزایش غلظت Cu به بالاتر از ۲ درصد وزنی، به تشکیل مراکز پراکندگی سطحی منجر شده و در نتیجه جذب نور را در فیلم‌های نازک ZnS:Cu کاهش می‌دهد.

مراجع

1. Lachheb, H, Puzenat, E, Houas, A, et al. *Photocatalytic degradation of various types of dyes in water by UV-irradiated titania*, Applied Catalysis B: Environmental 2002; 39: 75–90.
2. Rafatullah M, Sulaiman O, Hashim R, Ahmad A., *Adsorption of methylene blue on low-cost adsorbents: a review*, J hazard mater 2010; 177(1) 70-80.
3. Wang J, Li C, Zhuang H, Zhang J. *Photocatalytic degradation of methylene blue and inactivation of Gram-negative bacteria by TiO₂ nanoparticles in aqueous suspension*, Food Control, 34(2)(2013) 372-7.
4. Masombaigi H, Rezaee A, Nasiri A. *Photocatalytic Degradation of Methylene Blue using ZnO Nano-Particles*, Iran. J. Health & Environ, 2(2009) 3.
5. Kamat PS, Huehn R, R. N. *Semiconductor nanostructures for simultaneous detection and degradation of organic contaminants in water*, Photochem Photobiol Chem, 42(2008)37-57.
6. Masoumbeigi H, Rezaee A, Khataee A, SJ. H., *Effect of UV radiation intensity on photocatalytic removal of E. coli using immobilized ZnO nanoparticles*, Trauma Mon. Kowsar medical Journal, (2009) 14(3):149-156.
7. J.S. Hu, L.L. Ren, Y.G. Guo, H.P. Liang, A.M. Cao, L.J. Wan, C.L. Bai, *Mass production and high photocatalytic activity of ZnS nanoporous nanoparticles*, Angew. Chem. Int. Ed. 44 (2005) 1269–1273.